

V-194 アンボンドPC桁の曲げ破壊性状

木更津工業高等専門学校 正員 小池晋
○黒川章二

1. まえがき

アンボンドPC桁の曲げ破壊モーメントの計算において、桁の破壊断面における内力の平衡条件、ひずみの適合条件から桁破壊時にPC鋼材に生じる応力を求めることが困難である。本文は、T形断面ポストテンションPC桁を用いて静的曲げ実験を実施して、曲げモーメントを受けるアンボンドPC桁の変形性状について考察を行ない、アンボンドPC桁の曲げ破壊モーメントの計算方法に関する検討したものである。

2. 試験桁および実験方法

試験桁は、図-1に示すT形断面ポストテンションPC桁であり、PC鋼材の配置位置の異なる2つのタイプの桁とした。タイプI、タイプIIの試験桁において、グラシトを注入した桁とグラシトを注入しない桁を製作し、それぞれの種類の試験桁で有効引張力を広範囲に変化させた。PC鋼材は、SBPC 110 φ12mm PC鋼棒であり、スペイラルシース(φ16mm)を着せて直線配置とした。ボンドPC桁(I-B, II-B)は、材令7日で引張力を導入、グラシトを注入し、材令21日で載荷試験を行なった。タイプIのアンボンドPC桁(I-U)は材令7日で引張力を導入して材令21日で載荷試験を行い、タイプIIのアンボンドPC桁(II-U)は材令21日で引張力を導入してのち直ちに載荷試験を行なった。試験桁の載荷試験時の性質を表-1に示す。載荷方法は図-1に示す三分点載荷とし、0.3せきざみで荷重をかけた。ひずみ測定は図-1に示す位置に接着したひずみゲージによりデジタル多点ひずみ測定器を用いて行なった。たわみを20cm間隔でセットしたダイヤルゲージにより測定し、ひびわれを倍率20倍の7ラッカ計により観測した。

3. 実験結果とその考察

PC鋼材の有効引張応力 σ_{pe} と降伏応力 σ_{py} との比 σ_{pe}/σ_{py} を用いて試験桁の有効引張力の程度を表わし、曲げ破壊荷重と σ_{pe}/σ_{py} との関係を図-2に示す。この図からボンドPC桁とアンボンドPC桁の曲げ破壊荷重を比較すれば、アンボンドPC桁の曲げ破壊荷重は、 σ_{pe}/σ_{py} が小さいときボンドPC桁のそれよりはるかに小さくなるが、 σ_{pe}/σ_{py} を大きくするにつれて、それとともに曲げ破壊荷重は、ほぼ直線的に増大し、ボンドPC桁の曲げ破壊荷重にかなり近づくことがわかる。またアンボンドPC桁の σ_{pe}/σ_{py} の増分に対する曲げ破壊荷重の増加

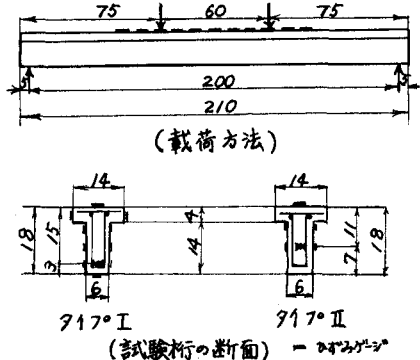


図-1 試験桁および載荷方法

表-1. 載荷試験時の試験桁の性質

試験桁 の記号	付着 有無	有効引 張力 (t)	コンクリートの強さ	
			圧縮強さ (kg/cm²)	引張強さ (kg/m²)
I-B-1	有	5.03	477	38.0
I-B-2	有	4.23	468	42.8
I-B-3	有	3.23	392	31.6
I-U-1	無	5.04	405	34.6
I-U-2	無	4.23	461	34.9
I-U-3	無	3.76	412	32.7
I-U-4	無	3.06	414	33.9
I-U-5	無	2.17	420	35.9
I-U-6	無	1.13	403	37.6
II-B-1	有	8.72	433	33.8
II-B-2	有	6.83	430	39.8
II-B-3	有	4.98	418	35.1
II-B-4	有	2.98	457	36.6
II-U-1	無	8.53	408	33.7
II-U-2	無	6.60	399	34.9
II-U-3	無	6.05	454	38.5
II-U-4	無	3.15	384	30.7

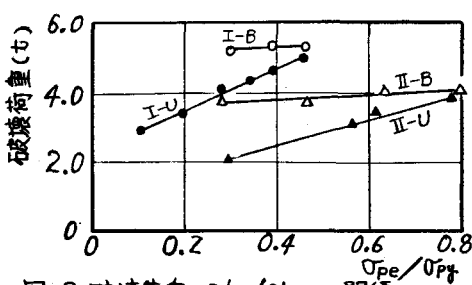


図-2. 破壊荷重と σ_{pe}/σ_{py} との関係

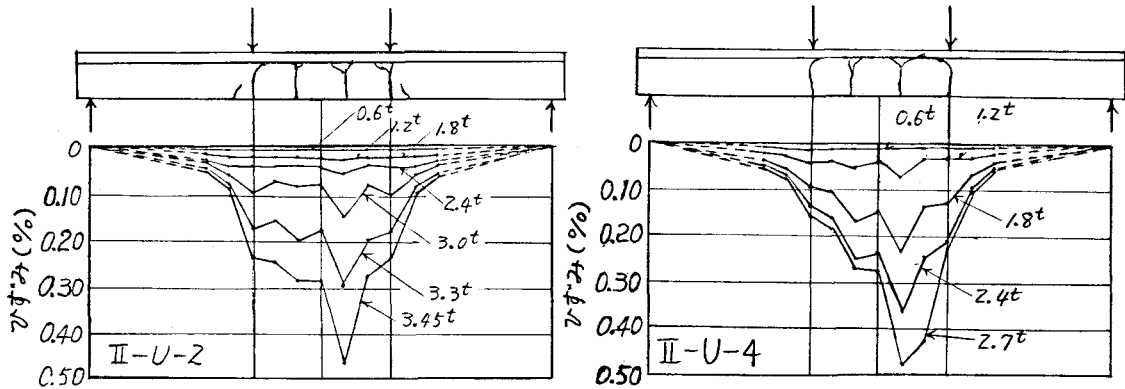


図-3. 試験桁圧縮線の軸方向のひずみ分布

は、 $\gamma_1 1^{\circ}$ Iの方が $\gamma_1 1^{\circ}$ IIより大きくなっている。有効高さの差異が曲げ破壊荷重におよぼす影響があらわれている。試験桁圧縮線の軸方向のひずみ分布の一例を図-3に示した。 γ_1 -U-2, γ_1 -U-4のひびわれ発生荷重はそれぞれ $1.20t$, $0.60t$ であって、ひびわれ発生荷重までひずみ分布は曲げモーメント図と対応する。さらに荷重が大きくなつてひびわれが成長するにつれて、ひびわれ性状がひずみ分布に与える影響が大きくなる。ひびわれが成長すると、荷重の増加によるひずみ増加量が著しく大きくなる区間(塑性区間といふ)とあまり変化しない区間(弹性区間といふ)が存在することがわかる。実験結果から塑性区間長は γ_{pe}/γ_{py} によって変化し、また有効高さによっても変化することがわかった。いま、桁破壊時の応力、ひずみ分布を図-4に示すように仮定し、塑性区間長を $m \cdot d$ として、弹性区間にみけるPC鋼板位置コンクリートの変形は塑性区間の変形にくらべて無視できなものとすれば、桁破壊時のPC鋼板のひずみは次式で表わされる。

$$\varepsilon_{pu} = \varepsilon_{pe} + m \cdot \varepsilon_u (d/L) + k \cdot m (d/L) (\varepsilon_{pe} - \varepsilon_u)$$

ここで、 $\varepsilon_u = 0.325\%$ と仮定して ε_{pu} の実測値を用いて内力の平衡条件から m を計算し、上式を用いて m を計算して、 m/d と γ_e との関係を図-5に示す。 m/d と γ_e とは直線関係にあり、つきに示すような実験式が求められる。

$$(m/d) = 15.6 \gamma_e - 0.57$$

そこで、この式を用いて試験桁の破壊荷重を計算して、(計算値)/(実験値)と $\gamma_e = A_p \gamma_{pe} / G_{el} b d$ との関係を示すと図-6のようになる。(計算値)/(実験値)の平均は0.98となり計算値と実験値とはほぼ一致する。 γ_e が大きくなるにつれて計算値が小さくなる傾向を示しているが、本実験に用いたようなアンボンドPC桁の曲げ破壊モーメントの計算方法として上記実験式を用いてよいものと思われる。

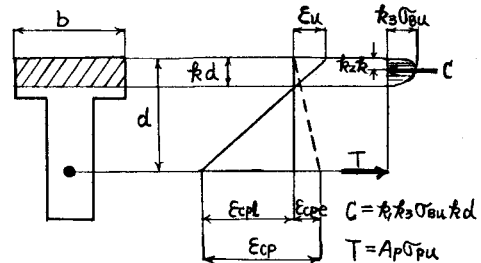


図-4. 桁破壊時の応力およびひずみ分布

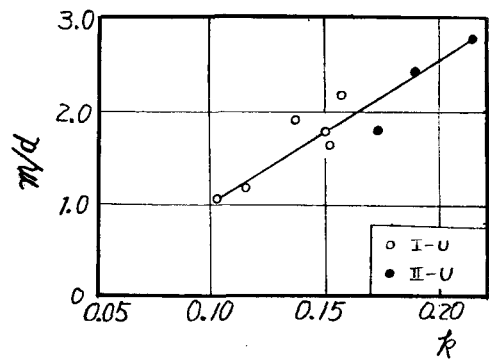


図-5. m/d と γ_e の関係

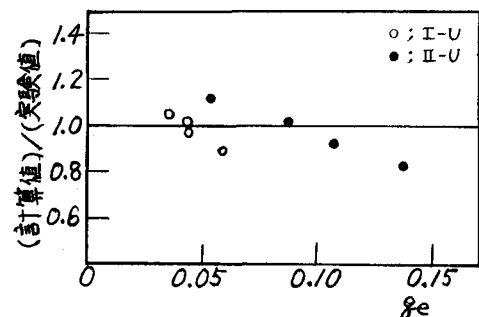


図-6. 破壊荷重計算値と実験値との比